

声学译丛

总 第 7 号

超 声 物 理

(换能器专辑)

3

上海市物理学会声学工作委员会主編
上海市科学技术編譯館出版

声学译丛 总第 7 号

超 声 物 理

第 3 輯

上海市物理学会声学工作委员会主编

*

上海市科学技术编译馆出版

(上海南昌路 59 号)

新华书店上海发行所发行 各地新华书店经售

商务印书馆上海厂印刷

*

开本 787×1092 1/16 印张 8 3/4 字数 265,000

1963 年 4 月第 1 版 1963 年 4 月第 1 次印刷

印数 1—2,200

编 号 : 5003 · 95

定 价 : 1.50 元

53.54

三K608/9 目 录

1. 关于气流笛的发声問題.....	1
2. 液体射流的橫振动 I	3
3. 液体射流的橫振动 II	9
4. 边棱音中的渦漩作用	15
5. 用于磁致伸縮換能器的經過改进的鎳基合金	18
6. 磁致伸縮材料在产生强声方面的利用	22
7. 磁致伸縮輻射器及接收器	29
8. 減少損耗的超声換能器設計	38
9. 低頻換能器的等效噪声压、自由場电压响应及效率等的决定因素.....	40
10. 供低頻用的最佳水听器設計	43
11. 水声換能器的輻射声功率測量	44
12. 工业超声設備的声功率測量	47
13. 輸入負載的彈性振动的功率測量	54
14. 壓電特性对压力与温度之关系的測定	55
15. 二个假定完全相同的換能器的校正	60
16. 阻抗法校正換能器的測量	61
17. 用热噪声頻譜分析法研究換能器頻率响应的可能性	66
18. 声納換能器的脉冲校正系統	68
19. 柱面波互易參量	77
20. 在扩散声場中傳声器的互易校正	83
21. 若干壓電換能器应用中須要考虑的有关电子線路与裝置的設計問題	87
22. 超声換能器的新发展及其在无损檢测中的应用	91
23. 超声压電換能器的瞬态与定态响应	94
24. 壓電換能器的暫态性能.....	101
25. 复合換能器的超声强度增益.....	110
26. 壓電晶体中的声源.....	114
27. 新型 1200 兆赫特超声換能器	118
28. 石英中特超声的激发.....	119
29. 低共振頻率的鈦酸鋇換能器.....	121
30. 晶体管超声頻功率发生器.....	122
31. 极高强度超声振动的发生和研究.....	125
32. 超声聚焦用的固体材料共振設備.....	133
33. 帶有損耗的固体声透鏡的放大系数.....	134

1963.5.30
06304

1. 关于气流笛的发声問題

В. П. Куркин

AKV. Ж., VII, 4: 442~445 (1961) [俄文]

近年来，声学的气溶胶凝聚装置中所謂靜笛有了极广泛的应用。Буше(布希)的工作^[1]在Гартман(哈脫曼)的气流辐射器的基础上推动了靜笛的創造，文中指出了制造較大功率的气流笛的可能性。布希气流笛产生的声压級对于工业气溶胶的凝聚是不够的。虽然如此，从工业应用的可能性观点来看，气流笛比动力气笛有更大的前途，因为气流笛具有显著的結構上和使用上的优越性。这主要由于在靜笛中沒有轉動部分。

当超声速气流从噴嘴噴入共振器时，气流辐射器中就发声，此时引起了共振腔周期性充气过程，这种过程可以从噴嘴到共振器的超声速气流图上来研究，如图 1 所示。这种情况可分成如下的阶段：1) 气流充满共振器右边的共振器，在这种情况下 $v_c > v_p$ 。这里 v_c 和 v_p 相应于在噴嘴和共振器內的气体速度。流管的形式如图 1a 所示。2) $v_c = v_p$ ，建立气流的瞬时动力平衡。流管构成(图 1b)的形式。因为共振器內气体的压力不能大于噴嘴內气体的压力，所以气体充满共振器的过程是反复进行的。

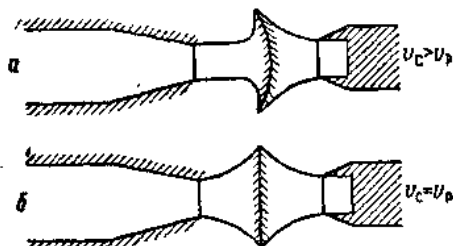


图 1

实际上在速度 v_c 和 v_p 的两个流管的卸接处所形成的流管的交迭地粗大，不是别的，而是振蕩性稠密跃变，它引起了气流辐射器的发声。

本文研究了一些振蕩性稠密跃变的特性。它们的研究不仅改善靜笛的声学經濟参数，而且制订出它们的計算方法。

研究工作是用图 2 所示的气笛^[2]进行的，它是哈脫曼型气流辐射器的噴嘴 1 和共振器 2 的組合，

它們被徑向裝置在指數性擴展環形喇叭的咽喉處。气笛的結構不仅可以調節噴嘴和共振器之間的距離，而且与布希气笛不同，它还可以調節噴嘴共振器軸線和反射器 4 之間的距离。把反射器安放在离噴嘴共振器軸的一定距离时，就得到共振，而且发声强度尖銳地增大。当超声速流体送进(通过连接管 5 和扩散器 6)笛的噴嘴时，就发出一定频率的声振动，此频率与噴嘴直徑有关。当共振器深度等于噴嘴直徑时，在噴嘴共振器距离 l 与噴嘴直徑 d 的比率約为 1.4 时，得到最大的声强 I (图 3)。图 4 是此时所得的辐射声频率 f 对噴嘴直徑 d 的依賴关系。根据哈脫曼的資料^[3]所建的关系是(1)，按作者測量的是(2)，而按哈脫曼和作者共同的資料得到的是(3)。

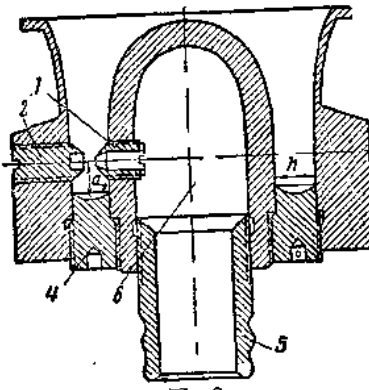


图 2

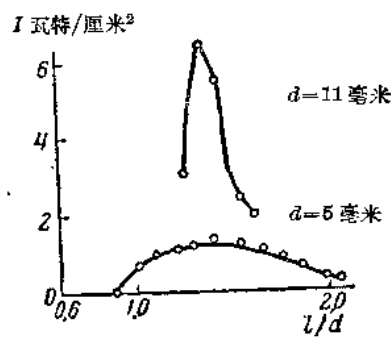


图 3

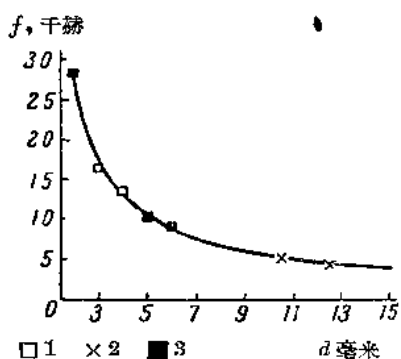


图 4

振器的方法所得到的。这些关系可写成如下公式

$$f = \frac{\xi c}{\pi d} \cdot 10^{-3}, \quad (1)$$

式中 f 是声的频率(千赫)， d 是喷嘴的直径(毫米)， ξ 是固定常数，在空气中声速 $c = 331 \cdot 10^3$ 厘米/秒时， ξ 等于 0.5。

当喷嘴和共振器間的距离 l 不是 $1.4d$ 时，观察到频率与方程(1)决定的数值有偏差，这时频率变得很不稳定，而且声强下降。在环形反射器的宽度 h (图 2) 小于 $0.6d$ 时，声的辐射强度同样急剧地减小。

图 5 指出了对于不同的喷嘴和共振器間的距离 l 所得到的，具有 5 个 5 毫米直徑喷嘴的气笛的声强与喷嘴共振器軸綫到反射器之間的距离 d_p 的关系。当喷嘴共振器軸到反射器的距离約为 1.3 和

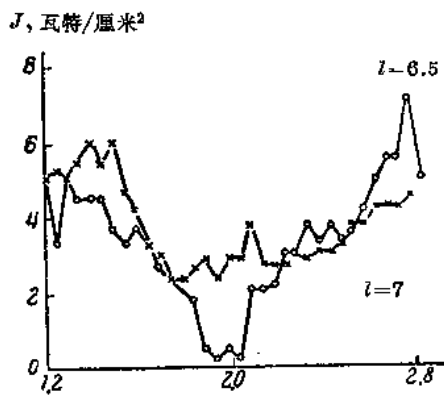


图 5

2.8 厘米时，得到声强最大值。这些最大声强对应的距离 d_p 决定于公式

$$d_p = \frac{1}{2} \frac{\gamma_n c}{\pi f} \cdot 10^{-3} \text{ 厘米}, \quad (2)$$

式中 γ_n 是零級贝塞尔函数的根， c 是声速。

从公式(2)得出，在气笛中对于給定的辐射声频率存在着一系列的距离 d_p ，在这些 d_p 处辐射声强度有最大值。可以看出，公式(2)类似于决定所謂固定振动膜的容許半徑的公式。

我們的觀察指出，在气流辐射器內，空气的消耗不仅与它的压強和温度有关（这个关系存在于气流通过喷嘴时），而且还与辐射声的频率有关。按照上面描述的发声机理，当超声速气流从喷嘴到共振器时，在 $v_0 = v_p$ 的流的动力平衡时刻就决定了辐射声的频率。当喷嘴直徑相同时，气流辐射器发出的声頻愈高，消耗的气体数量愈少。在空气中工作的静笛其消耗可以借近似的經驗公式来决定

$$Q = \frac{32 \cdot 10^4 p}{f^2 \sqrt{T}} \cdot K, \quad (3)$$

式中 Q 是空气的消耗量(米³/小时)， p 是气笛內空气的过剩压强(千克力/厘米²)， T 是空气的絕對温度， K 是喷嘴的数目。

从公式(3)得出，在高频时气笛的工作是比较經濟的。應該指出，对于每个气流辐射器的喷嘴直徑都有一个最适宜的气体压强值。在著作^[3]里对于空气得到下表：

d 毫米	2	3	4	5	6
p 大气压	2.61	2.61	2.74	3.44	3.16

为了确定气笛的效率(气笛喷嘴直徑 5 毫米，喷嘴数目 $K=5$)，曾經得出它的指向性图案并計算了声功率和效率。图 6 是气笛的指向性图案，它是限于立体角 2π 之間的球面上各辐射方向的声压平均值。指向性图案是在預定要进行能流积分的不同半徑的表面上得到的。从图上看出，在半徑为 28 和 49 厘米的表面上，指向性图案在形状上差不多沒有区别。通过这些表面上的声能流大約等于 1.55 千瓦。根据公式(3)决定的在 $T = 288^\circ\text{K}$ 时，这气笛的空气消耗約为 292 米³/小时。把这些数量的空气压缩到 3.44 大气压所需的功率，可以根据多方压缩公式决定

$$N = \frac{n}{n-1} \frac{p_2 v_1}{p_1} \left[\left(\frac{p_2}{p_1} \right)^{\frac{n-1}{n}} - 1 \right] \frac{102}{102}, \quad (4)$$

式中 N 是功率(千瓦)， n 是多方曲線的指数(对于空气 $n=1.3$)， p_1 是空气的初始压强，千克力/米²(絕對的)， p_2 是气笛內的空气压强，千克力/米²(絕對的)， v_1 是每秒空气的消耗量，米³/秒。功率的計算值等于 14 千瓦。因此声效率是 $\frac{1.55}{14} \cdot 100\% \approx 11\%$ 。

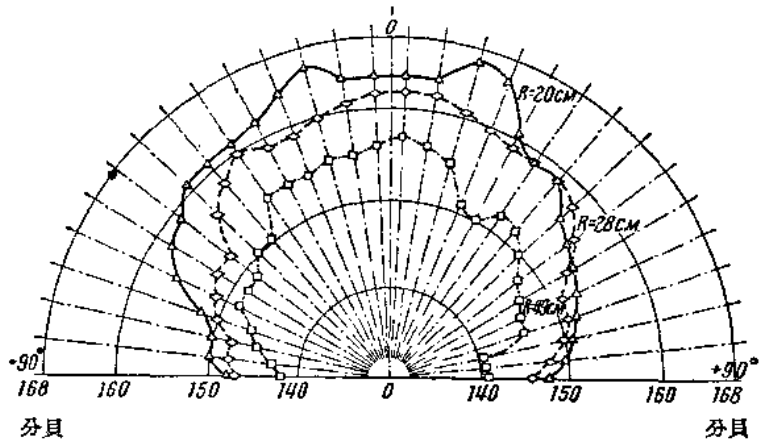


图 6

結 論

1. 制造了带有活动反射器的气流声辐射器，可以把气流辐射器調節到最强的辐射。辐射器的声效率是 11%。
 2. 确定了可以計算反射器的主要参数的基本規律。
- (肖鑑涌、林維正譯 魏墨金審校)

参考文献

- [1] R. M. G. Boucher. Lacoagulation des aerosols industrielles par ultrasons. *Genie Chim.*, 1957, 77, 6, 163~173; 1957, 78, 1, 14~28.
- [2] В. П. Куркин. Статистическая сирена. Бюлл. изобрет., 1960, 18, Стандартиз.
- [3] Л. Бергман. Ультразвук и его применение в науке и технике. М. ИЛ., 1957.

2. 液体射流的横振动 I

J. B. Brackenridge

J. Acoust. Soc. Am., Vol. 32, No. 10, P. 1237~1242 (1960) [英文]

引 言

本文所討論的是一股从孔口流出的薄矩形射流冲击在沿射流平面装置的刚性劈尖頂上时的特殊流动情况。与此射流有关的准直管和劈尖所組成的系統，称之为射流——邊棱系統。在一定条件下，发现在这种系統中，射流会发生橫振动。再者，这些橫振动的方式各不相同，有时则称之为工作阶段。从射流振动频率、波流位形以及存在某一方式所必需的参数值等等特性來說，每一方式或阶段都自有其独特的对孔口到邊棱的距离 h 、波流速度 u 、液流宽度 w 和流体运动粘滞系数 ν 的依賴关系。

如果射流的振动频率是在可聞声範圍內，則常可听到一定频率的声音；这些声音通称“邊棱音”。大部數对邊棱音以及有关問題的研究都是用在空气中

工作的射流——邊棱系統来完成的^{[1][2]}。這项工作之所以受到重視，一部分是由于风动发声所引起的，一部分是由于大家对这种新颖的流体动力學——声学現象的兴趣。

Janovsky (茹諾夫斯基) 和 Pohlman (普爾曼) 最近的工作^[3]确定了液动的射流——邊棱系統在实用上之重要性。后者曾經指出，用配备着調諧振动元件的一种特殊設計成的裝置来制备乳液，是很有效的。作者与 Nyborg (尼堡)^[4] 曾經研究了备有振动元件的射流——邊棱系統的输出譜和裝有固定元件的参考射流——邊棱系統 (如同本文的研究中所用的)的输出譜之間的关系。

最近，Bouyoucos (波尤可斯) 和 Gross (格罗斯)^{[5][6]}也对液动式射流——邊棱系統进行了研究。射流——邊棱系統除与发声器有关外，其重要性还

在于提供了一种特别有趣的流体运动的典例，这种流体运动，随着涡旋的产生，使本身处于振动状态。本文将处理这种系统能以给定方式进行自持振动的参数范围，同时也处理每种方式的频率特性。

实验设备

在进行这种研究时，使用了两种射流——边棱系统；每一种系统中主要包含有：(1)一个发射液流或射流的准直管和(2)一个沿流动平面支撑着的劈尖。其中的一种系统的准直管配有一些活动嵌片，它们可以使液流的厚度为0.051厘米、0.102厘米和0.204厘米；而其孔口宽度为2.54厘米。第一种系统中的劈尖(不锈钢制，长5.10厘米，宽2.89厘米，厚0.65厘米，前边棱具有26°的尖削角)装置在依附于准直管两侧的轨道上。这个轨道将劈尖牢固地支撑在液流平面上，而且可以利用测微螺旋的传动来改变孔口到边棱的距离 h 。由此，可以使边棱位置准确到0.001厘米以内。这个射流——边棱系统是水平地装置在一个矩形贮液箱的中心附近的，贮液箱的尺寸为长6呎，宽1呎和高2呎。

第二种射流——边棱系统与上述系统的区别在于：这种系统的劈尖(黄铜制，长35厘米，宽2.89厘米和厚0.65厘米，前边棱具有28°的尖削角)牢固地装在小的刘西脱(Lueits)贮液箱(1呎宽，1呎长和2呎高)之底部上，而在贮液箱上装有准直管，使液流指向下面。用齿轨和副齿轮移动准直管来改变孔口到边棱的距离。在准直管上配有一个可以把 h 确定到0.01厘米的游标尺。

应用两种不同的装置来向准直管供给液体。第一种适用于200与700厘米/秒之间的流速，其中包括一台环流式水泵，这个水泵之一边与液体准直管相连，而另一边则与贮液箱的排泄口相连。控制水泵的速度，可使液流速度从100厘米/秒连续地变化到700厘米/秒。第二种供液的方法适用于200厘米/秒以下的流速，液体并不进行再循环。而在压缩气体的作用下迫使液体从一有护罩的玻璃坛中泄出。在这两种装置中，是把一个位于准直管上游的压强计当作流速计那样加以校准来测定液流速度的。

在测量200周/秒以上的频率时，使用了一个水听器和一个波分析器。在测量低于200周/秒的频率时，应用玻尤可斯方法^[1]，用染料将液流染色，并且使用了频闪观测器或电影摄影机。

将甘油加入贮液箱内的水中，可以改变液体的

粘滞性。这种混合液体的粘度是用Brookfield(白罗克菲尔德)的同步电动粘滞计(型号LVF)来测定的。为了保证甘油和水能充分混和，需要使液体循环地以高速率重复流经射流——边棱系统。从混合液的各部分取样，并且使液体继续环流，直到这些任意取得的样品显示出液体已彻底混和为止。

实验结果

从以下讨论的结果来看，在本文中发现使用液体的射流——边棱系统的行为跟使用空气时的行为极为相似。所出现的自持射流振动包括各种阶段或振动方式。对这些不同的方式，其自持振动的条件以及频率特性与以前发表过的对于空气中的情况十分相似。当液体粘度的范围在1到100(厘泊)时，使用液体与空气的系统的行为是相似的。粘度作为一个参数来说，对各种振动方式的频率特性的影响是很小的；但它对确定自持的条件却是非常重要的。

下面的讨论将分为两个部分：(1)自持振动的条件和(2)频率特性。

自持振动的条件

图1中的实线A及B确定了(h , u)空间内的一个区域(对流速低于400厘米/秒与距离 h 小于0.8厘米的情况来说的)，这个区域内的每一点代表存在着工作阶段1的一组 h 和 u (不存在一个有关的阶段2的振动方式)。虚线所确定的是在空气中的相同的区域^[2]。具体地说，曲线A就是当流速增加，阶段1的工作开始时， h 对流速值的图线，仿此，曲线B则表示当流速加大，阶段2的工作开始时的流动条件。当流速减小而并非增大时，曲线略低。当速度在200厘米/秒以下时，可利用频闪观测器观察液流剖面并记录剖面突变处的 u 值，来测定这些曲线。当流速在200厘米/秒以上时，可由观测谐波分析器上的水听器输出，并记录波谱中发生变化处的 u 值。即可得到图中的曲线。

如图1所示的这些图线，确定了在以一定方式振动时得到稳定的射流的条件。在利用外来因素(例如，用机械方法使系统受到扰动)使射流振动时，更可以直接受证这一点。如果由 h 和 u 的数值可以在曲线A的下方或左方的(h , u)空间中确定一个点时，用人为方法激发的液流振动就要受到阻尼的作用。阻尼率决定于(h , u)空间中的位置：对于曲线A左上方的代表点(u 大, h 小)，振动的衰减要比对直接在曲线右下方的点(u 小, h 大)迅速得多。

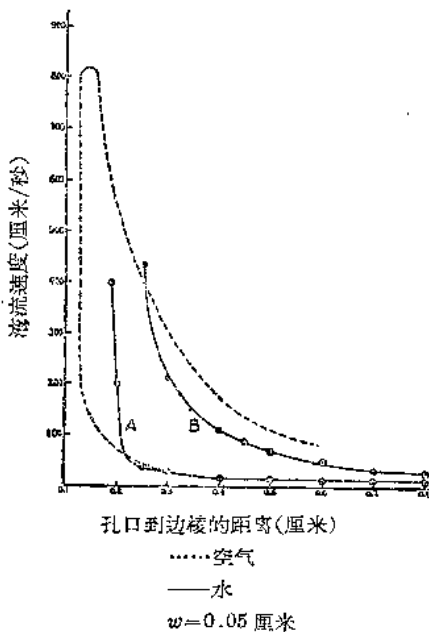


图1 在水中的阶段1与在空气中阶段1的工作条件比较。实线A与B为对水而言的较低和较高的边界，而虚线则对空气而言的

曲线A, B有两种特别值得注意的特征。可以考察标有符号A的实线，它代表在水中自持振动情况下，(h, u)空间内的下限。当 $u > 150$ 厘米/秒时，曲线A几乎是垂直的，就是说，它趋近于一条 $h = \text{常数}$ 的直线。在这个区域内有一个 h 的极小值，在低于此极小值时，则不论液流速度如何，都不能观测到振动。第二个有意义的特征是，当 h 值大于0.4厘米时，曲线A几乎是水平的，而接近于一条 $u = \text{常数}$ 的直线。我们发现，在对各种厚度的液流和对粘度在一定范围内的液体所测定的与A类似的曲线上，这两个特征是颇为普遍的。以前曾在空气中观测到， h 为常数的区域，可从图1所示的虚线看出，但是对于在水中 u 为常数的曲线部分，没有在空气中进行过研究。

紧接在曲线B以上的区域的意义，不象上述在B以下的区域那样容易确定。直接在曲线B以上的每一点代表当工作阶段1和阶段2能够并存时的 h 及 u 值。在观测水听器的输出时，阶段1和阶段2的同时工作的情况是极为显著的；我们发现这两个阶段的基频和诸频都出现了。在速度较低（即低于200厘米/秒）的区域内，较难确定有两个阶段共存的情况，这时，必须用频闪观测器来进行考察。但在流速过低时即低于30厘米/秒时，则很少记录到这两个阶段共存的情况，而射流—边棱系统好象仅以一

种方式振动。Brown(布朗)¹⁰曾发现，对空气中的类似系统，仅在流速大于600厘米/秒的情况下，阶段1的振动方式才能延续到阶段2开始之后。

图2指出了液流厚度对进入阶段1的要求的影响。液流厚度为0.051厘米，0.102厘米和0.204厘米的曲线是在与图1的曲线A相同的情况下获得的。这些曲线代表着将发生阶段1的振动时的 h 与 u 的极小值，它们是在使 h 保持恒值并增大流速的条件下确定的。每条曲线都显示出以前讨论过的特征形式：亦即，每一曲线具有一个与 h 无关的区域（或者，接近于这样一个区域）以及一个与 u 无关的区域。增加液流厚度的表观效应是，曲线在(h, u)空间中向右上方移动；因此，对于给定的孔口到边棱的距离来说，当液流厚度增大时，进入阶段1需有较高的流速。在空气中也得到了类似的结果。

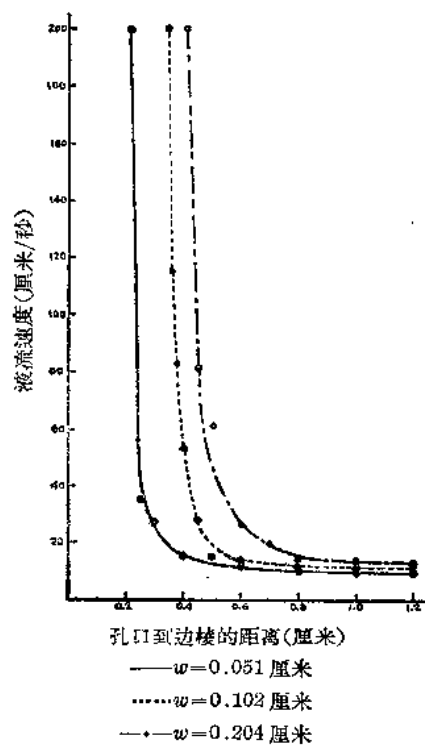


图2 在水中发生阶段1的自持振动的 h 与 u 的极小值。实线代表液流厚度为0.051厘米的情况，细虚线代表液流厚度为0.102厘米的情况，而粗虚线代表液流厚度为0.204厘米的情况

图3包括了与图1的曲线B类似的一些曲线，这些图象指出了增大液流厚度 w 对在水中阶段2振动的开始条件的影响。如前所述，人们发现，对水来说，与在空气中的通常情况不同，阶段2常与阶段1同时存在，而很难单独存在。因此对适用有某一已

知液流厚度为 w 的曲线以上的 h 和 u 值，阶段 1 和阶段 2 的振动能同时存在。在这里，和关于阶段 1 的开始条件的情况一样，液流增大厚度，会使曲线在 (h, u) 空间中向右上方移动。

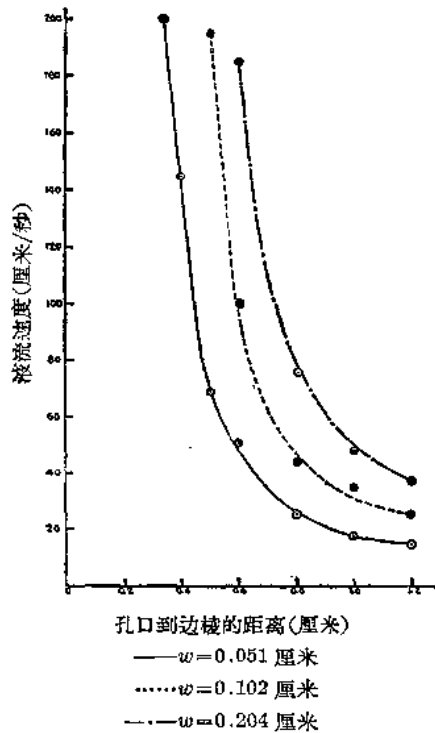
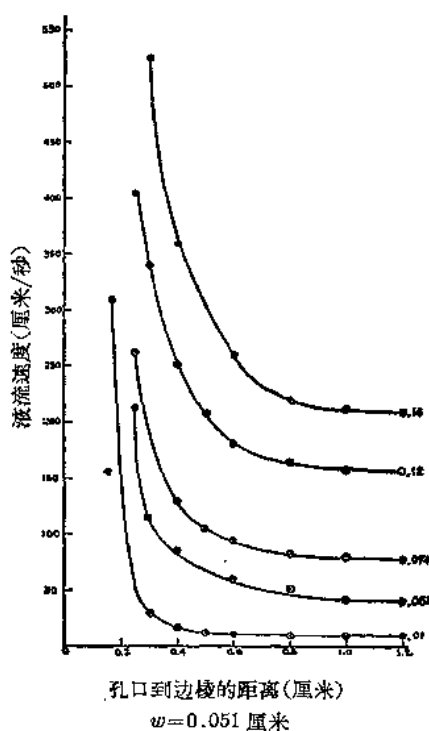
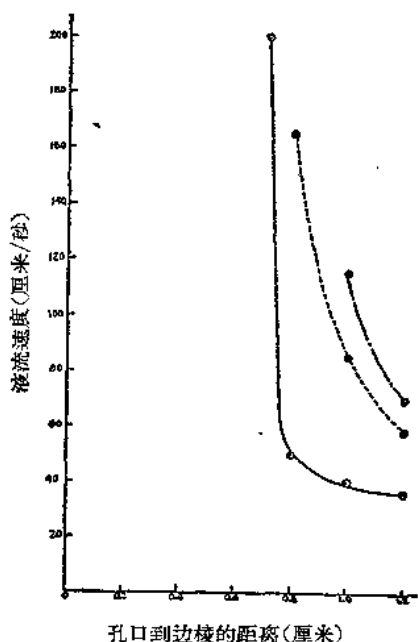


图 4 所示为在水中进入阶段 3 振动的条件，仍以液流厚度作为参数。对于给定厚度的射流，在图 4 中相应的曲线以上的 (h, u) 值，代表发现有阶段 3 的条件，而且阶段 1 与 2 同时存在。如再增大液流厚度，也将使曲线在 (h, u) 空间中向右上方移动。

图 5 是利用一系列不同的液体得到的。此图表明运动粘度对阶段 1 振动开始条件的影响。运动粘度 $\nu = \mu/\rho$ 在 0.01 到 0.14 厘米²/秒范围内的液体，是以适当的比例将甘油和水混合来制备的。图 5 中的每一条曲线表示，在指定 ν 值的甘油—水混合液中出现阶段 1 的操作时， u (增大) 的极小值对 h 的图线。值得指出，曲线的一般特征同关于水的相应曲线相类似。增大 ν 的效应是使曲线在 (h, u) 空间中向右上方移动。

除图 5 所给出的一些结果外，实验还证明甚至在粘度高达 1.0 厘米²/秒的液体中也会发生射流自持振动现象。看起来，只要系统的取适当数值的参数，在任何一种液体中都有可能产生这样的振动。



頻率特性

一般地說，在液体中与在空气中觀察到的频率特性是相似的。图 6 为水中的射流——边棱系统 (h 为 0.3 厘米, w 为 0.05 厘米) 其基频 f 对流速 u 的图象。当液流的速度从零增大时，在达到 27 厘米/秒之前，不能观测到液流的振动。在达到这个速度时，液流以阶段 1 的特征液流位形开始振动。振动频率随速度 u 的变化是連續的且近似线性的。当 u 达到 270 厘米/秒时，则进入基频为 f_2 的阶段 2 的振动方式。这时，声谱是相当复杂的。除基频 f_1 (453 周/秒) 和 f_2 (1015 周/秒) 外，出現了频率为 $2f_1$, $3f_1$ 等等以及 $2f_2$, $3f_2$ 等等的諧頻。更值得注意的是，也发现频率为两个阶段的式频之和 (f_1+f_2) 及差 (f_2-f_1) 的成分。Cornett (康南脫)^[1] 曾指出，在空气的边棱舌中有频率之和与差的存在。

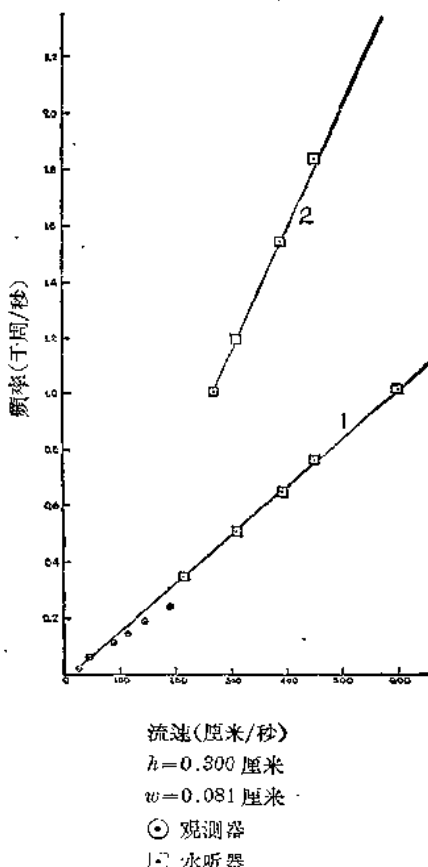


图 6 水动式射流——边棱系統之频率与流速关系。标有 1 的曲綫为阶段 1 的基頻，而标有 2 的曲綫为阶段 2 的基頻。圆点是用頻閃観測器測得，而方形点則由水听器測得。液流厚度为 0.051 厘米。孔口到边棱距离为 0.300 厘米

图 7 为 f 对 u 的另一个图；其中 h 为 1.0 厘米， w 为 0.102 厘米。当流动开始之后，而液流速度未达到 10 厘米/秒之前，沒有观察到振动；在到达此速度时，才出現阶段 1 的振动方式。当流速增大时，液流仍保持着这种振动方式，在速度未达到 27 厘米/秒之前，当 u 增大时，频率作線性增大。在达到此速度时，液流从阶段 1 突变到以阶段 2 为主。如果要用頻閃観測器来截止阶段 2 的图样的运动时，那是可以做到的，但整个图样会有微小的起伏。这个起伏的频率具有相当于阶段 1 的工作频率。在用諧波分析器对来自水听器的信号进行测量时，进一步証明了在阶段 2 开始之后，阶段 1 的振动仍繼續存在的推論。若流速继续增大时，则在 70 厘米/秒时达到另一个临界速度，在此速度时，液流跃进到阶段 3 的工作。

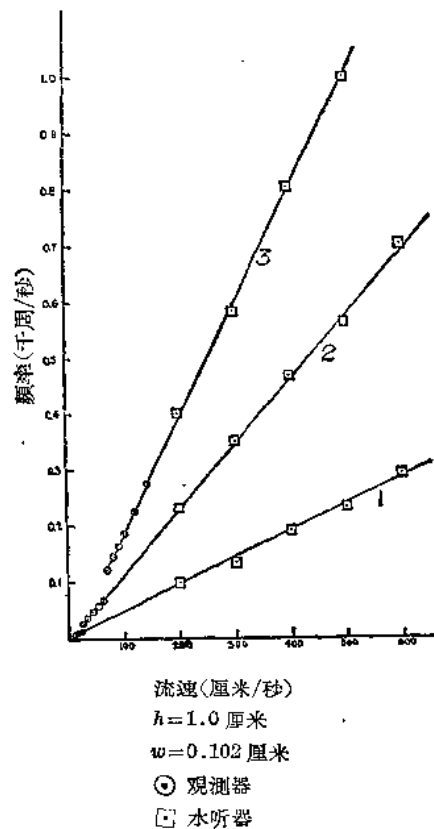


图 7 水动式射流——边棱系統之频率与流速关系。除孔口到边棱距离为 1.0 厘米外，其它条件均同图 6

对于 h 在 0.3 厘米与 1.0 厘米之间的一些其它数值，曲綫所显示的特性与图 6 和图 7 相似。这时频率几乎是線性地隨 u 值变化的，在 h 减小时，振动方式之間的过渡发生在較高的速度。

频率对孔口到边棱距离 h 的依从关系如图 8 所示，其中包含有图 6 及图 7 中频率对流速的曲线的斜率对 $\frac{1}{h}$ 的曲线。下面一条曲线代表阶段 3 的值，而上面一条曲线代表阶段 3 的值。在所有的情况下， f 对 u 的斜率表现得与 h 成反比例。

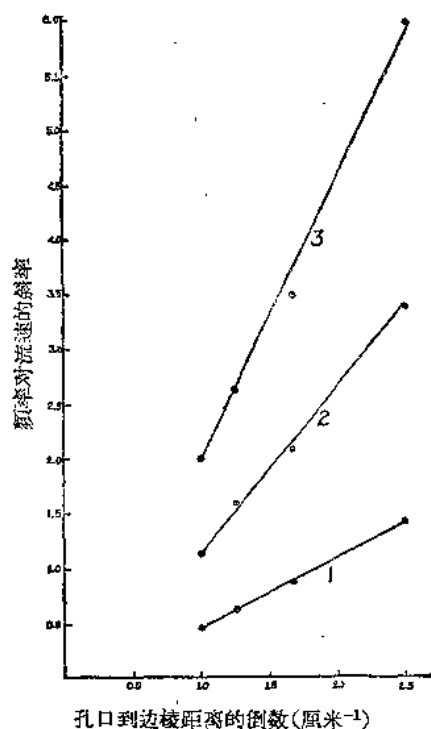


图 8 频率对流速曲线的斜率(图 6 及 7)与 $\frac{1}{h}$ 的关系。标有 1, 2, 3 的曲线分别代表阶段 1, 2, 3

Brown (布朗)¹¹ 对空气中边棱音的频率，发表了如下的经验公式：

$$f = AJ_N(u - a)(1/h - b),$$

式中， J_N 为工作方式的函数。在 $h < 10$ 厘米和 $u > 40$ 厘米/秒的情况下，上式实际上可以简化为：

$$f = AJ_N u / h.$$

显然，本文所提出的实验结果对上述形式的方程是适用的。从图 8 的三条曲线的斜率，就可能计算 A 与 J_N ，且从截距可得出 b 。图 7 与图 8 的一些曲线的截距给出了 a 值。对于液流厚度为 0.102 厘

米的水和空气的系统，在表 1 中列出了这些常数的对比值。这些结果适用于 $h > 0.4$ 厘米的情况。从其他的数据发现的情况是， A 值依赖于液流的宽度，而与运动粘度无关。 J_2 及 J_3 的值则与液流厚度和运动粘度均无关。在所有情况中，按照定义，常数 J_1 等于 1。

表 1 水和空气之工作常数比较

	空	气	水
A	0.446	0.63	
J_1	1.0	1.0	
J_2	2.3	2.4	
J_3	3.8	4.2	
a	40.0	6.0	
b	0.07	0.23	

在本文的下一篇文章中，将要提出射流——边棱系统的射流过程的照相。这些照片是用每秒能摄取 8000 个镜头的高速电影摄影机摄取的，它们说明了射流从稳定流动向振动流动的过渡，以及阶段 1, 2, 3 的稳态运动。同时，在适当的情况下，还要将本文结果及照相过程，和按照与自持振动有关的现行理论预测的数值进行比较。

(严导淦译 魏墨宣校)

参考文献

- [1] Brown, G. B. Proc. Phys. Soc., (London). A49, 508(1937)
- [2] Nyborg, W. L.; Burkhard, M. D. & Schilling, H. K. J. Acoust. Soc. Am., 26, 174(1954)
- [3] Janovsky, W. & Pohlman, R. Z. angew., Phys. 1, 222 (1948~1949)
- [4] Brackenridge, J. B. & Nyborg, W. L., J. Acoust. Soc. Am., 29, 459(1957)
- [5] Bouyoucos, J. & Nyborg, W. L., J. Acoust. Soc. Am., 26, 5110(1954)
- [6] Gross, M. T., Acustica, 9, 164(1959)
- [7] Cornett, O. J., Ph. D. dissertation, University of Texas, (1940)

3. 液体射流的橫振动 II

J. B. Brackenridge, W. L. Nyborg

J. Acoust. Soc. Am., Vol. 33, No. 8, p. 1078~1084 (1961) [英文]

引言

在前一篇論文^[1]〔今后称为(T)〕中，作者提出了发生在射流—邊棱系統中的液体射流自持振动的实验結果。本文将提出进一步的实验成果，并将其結果与可采用的理論进行比較。

大家已知道，在射流—邊棱系統中所引起的振动，是与周期性渦漩的形成有联系的，而且常常出現一种可以听到的声音，即所謂邊棱音。这类現象——包括流線的自持橫振动，周期性渦漩的形成以及不連續频率的声之产生——可以在各种环境下发生，特別是当射流撞击在障碍物上或流經銳角周围时。近来，大家对这种运动的基本性质方面已經有了进一步的了解。

在討論上述的这种运动时，如何来描述从稳恒层流到含有有序橫振动而与时间有关的流动的过渡，是我们所面对的一个問題。Schlichting (施立席廷)^[2]，Tollmien (托尔明)^[3]与 Lin (林家翹)^[4]等，在关于流体动力学稳定性問題的論述中，曾經提出了对与此大体相似的現象的一般处理方法。在他們所用的方法中，必定要知道适用于給定的层流情况的速度和压强与时间无关的解。然后，还需要考慮和这些与时间无关的解略有不同的速度与压强的初值問題。如果当时間趋向无限大时，初值問題的解趋近于稳恒状态的解，则运动为稳定的，反之，则为不稳定的。

利用 Von Karman (卡門) 的理論，可以了解渦漩行列形成的原因^[5]。在雷諾数 (Reynold's number) 足够大的液流中，与障碍物后面相隔一段距离处，有可能看到渦漩的一种有規則的图样。有鉴于此，Von Karman 曾研究了理想渦漩的类似的分布情况。他証实了这种称为“渦街”的渦漩的图样，即对于横越渦街的微小扰动，一般來說是不稳定的，并且計算了隨遇平衡的安排。

对于邊棱音現象，在試圖应用流体动力学稳定性理論时，首先必須找出在稳恒射流对称地撞击在

剛性劈尖頂上的場合下，速度与压强的分布。早期的文献所提出的实验曾指出，基本邊棱音特性是与劈尖的角无关的（如果此角不太大的話），或者与沿流动方向的劈尖的綫度无关的（如果綫度不太短的話）。因此，在这里，劈尖的尾流显然是不重要的。在数学模型中，以一块无限薄（但为剛性）的半无限大薄板来代表“劈尖”，看来应当是合理的。这样，就可能确定在給定的流动条件下，可放大的扰动之波长。这种方法在目前是不切合实际的；因为还没有关于具有两个液—液分界面及两个半无限的同一液分界面的稳恒射流的速度分布的資料。Bickley (別克萊)^[6]与 Andrade (安德雷特)^[7]曾經推导出在較簡單的自由射流（即挪去邊棱）条件下，稳恒流动的速度分布；可是，甚至这种解也只适用于較本問題中所討論的为小的平均速度。

显然，在目前仅根据流体动力学基本原理来完全求解射流—邊棱系統的行为是无法实现的。新近有人利用一些輔助假定，提出了两个理論^{[8][9]}。他們是从稍有分歧的观点來探討这个問題的，鉴于沒有比較適宜的名称，我們拟称第一个理論为渦漩理論，而称第二个理論为动力学理論。

渦漩理論

第一个要研究的理論是 Curle (克尔)^[8]的理論，他直接利用了流体动力学稳定性理論以及卡門渦街理論。Curle 首先研究了自由射流的振动，亦即无劈尖情况下的射流。他用 Lighthill (萊特海爾)^[10]理論来預測以假定的扰动所引起的被扰速度来表示的由自由射流所产生的声。为了找出被扰速度場，在 Tollmien 的扰动方程中引用了 Bickley-Andrade 的稳恒射流的速度分布。Curle 發现，对不同波長的扰动，辐射声的最大振幅都应发生在波長 λ_0 約為 $7.0 w$ 时，其中， w 为狹縫的寬度。

在解釋射流—邊棱系統的各阶段之間的过渡时，可以参考上述对自由射流所定义的波長 λ_0 。在射流—邊棱系統情況下，可把一个相应的量 λ 定

义为沿振动射流出現的相继向上的渦漩間的距离。Curle 在将自由射流波长 λ_0 的計算值与射流波长 λ 的实測值比較时，发现自然发生的振动方式的任何变化都具有使波长 λ 向边棱音波长 λ_0 轉变的效应。

在計算射流——邊棱系統中各阶段的頻率絕對值时，Curle 用 Richardson (理却孙) [11] 的論文作为依据，考虑了劈尖任一边的渦街，并由此推导出孔口到邊棱的距离 h 与射流——邊棱的波長之間的关系。由此，利用所得的結果 $\lambda_0 = 7.0 w$ 和 Savie (薩維克) 的层流的卡門渦街的速度公式 [12]，他就計算了邊棱音的各种振动方式或“阶段”的振动頻率。

动力學理論

在动力學理論 [9] 中，所用的方法不同。着眼点是构成射流的流体质点，以及当质点从孔口流向邊棱时，作用在每个质点上的横向力(显然，这些力是由于射流振动所形成的压强梯度而顯現的)。利用力場的一些未知函数，建立了一个积分方程。当有理由相信于任一瞬間存在的“反馈”力場为简单地与瞬时射流位形之某些情况有关时，这个方法是特別适宜的。对于力場，假定了一些試探函数；并且对自持振动計算了頻率、射流剖面以及参数的范围。

实验結果

在本节中，將介紹一些关于各阶段的射流振动的照相；对于以每一种方式工作的射流——邊棱系統，用一系列的射流剖面来表示。

首先，讓我們来看图 1，图中显示了从穩恒流动向含有发展成熟的阶段 1 振动的流动过渡的射流。每列(即图 1 中标有 A 到 D)含有十張依次取得的染色水射流的运动照片，此射流隨其速度的逐渐增大而自行建立振动。在 20 秒的时间間隔中使用了一架 Fastax (法斯泰克斯) 电影摄影机(速率为每秒 200 个镜头)。摄影机是在建立起振动的一段时间內按計劃开动的。在低流速情况(A 列)下，射流循直線路徑进行，而不随时间变化。当流速微增(B 列)时，振动开始。图上的小箭头，是为了便于看清楚微小的垂直扰动而画出的，因为在小图片上很难看出这些扰动^①。

当流速进一步继续增大(C 列)时，扰动显示出与 B 列中的相同的对称性；但是在 C 列中，可以观

察到在劈尖下面形成了极小的“先驅渦漩”或渦胚。在 C—5 到 C—8 中，指出了先驅渦漩的尖端并沒有随扰动而移向下游的現象。当先驅渦漩伸展到静止流体中时，它好象倒过扰动頂端的流体一样，而在扰动前进时则落在后面。

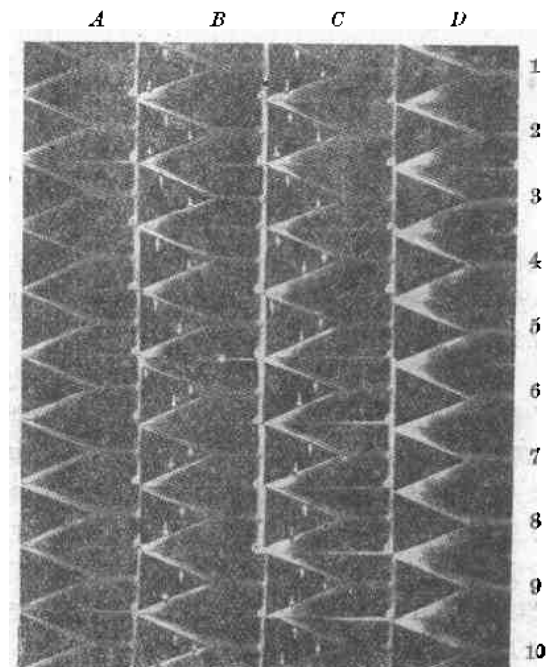


图 1 标有大写字母的每一列为由染色水射流得到的一系列电影照片。这些照片都經過整飾，劈尖已被涂黑，以增强它与周围流体之間的对照，并插入小箭头以指出重要的特征。各列是按流速增大的次序排列的

图 1 的最末一列(D 列)，显示了随着流速的再增大，以发展成熟的阶段 1 振动方式工作的射流——邊棱系統。在这些照片上，渦漩的形成显得很清楚，并且发生在劈尖的前邊棱附近。以后将对已確知速度的图列进行更詳細的討論。

图 2 为一系列以不同的振动方式在水中工作的射流——邊棱系統的照片。A 组(A 列)表現了当射流的 (h, u) 值适足以让它能进行自持振动时，在阶段 1 工作的一个全周期，(孔口到邊棱距离 $h=1.0$ 厘米，液流速度 $u=11$ 厘米/秒，液流寬度 $w=0.10$ 厘米)，(从每一个图片到下一个图片的相位增加為一个周期的 $1/10$)。因为在孔口与劈尖前邊棱之間的液流中，(通常)存在着一个弯曲，从这种几何性质就可以判断这种位形是阶段 1 (也可以由其頻率特性來判断)。今后尚需討論的重要特点还有：豎向

① 将軟片做成立动画片时，扰动显得特別清楚。当然为了便干看到这些图样，可将它在銀幕上放大。此外，用紅色射流与周围的純淨液体对照的有色影片比用黑白对照的复制片可能更好。

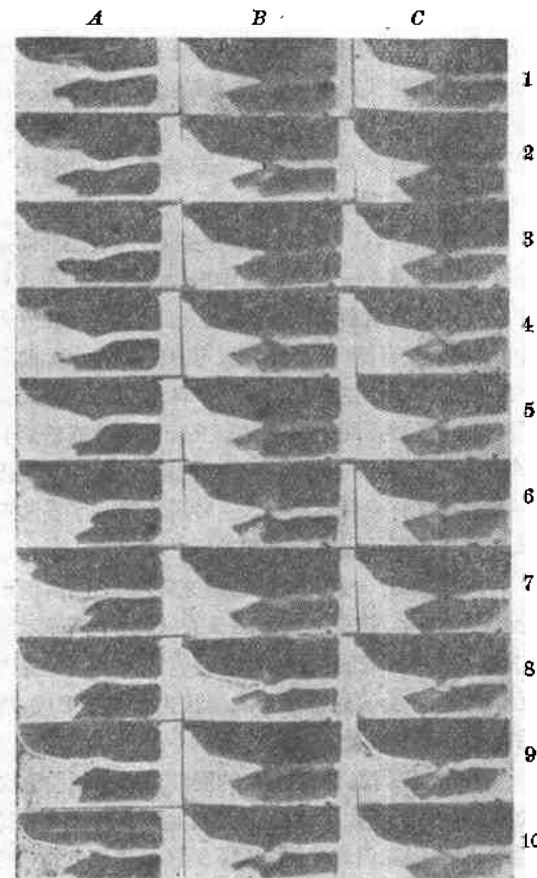


图 2 和图 1 一样的染色水射流之电影照片。各列依次代表第一种、第二种及第三种的振动方式

扰动在移向下游时的“滋长”，射流在劈尖的前边棱处之最大位移（约等于射流的宽度），以及射流本身从边棱一边移向另一边的速度。（在这一系列图中，仅在 A—2 及 A—7 中，液流在边棱处自行分裂成可量度的大小）。

B 组（图 2 的 B 列）的十张图片，表示同一射流——边棱系统在阶段 2 工作的一个全周期。这时，射流的速度较大，为 45 厘米/秒。鉴于在孔口与边棱之间的射流位形（通常）要多一个弯曲，阶段 2 的振动方式在几何形状上是不同于阶段 1 的。在图 2 中，将 B 列的阶段 2 与 C 列所示同一系统 ($u=113$ 厘米/秒) 的阶段 3 振动方式相比，就可以看出，对于一个给定的振动方式（例如第“ n ”方式），液流的位形要比下一方式（第 $n-1$ 方式）多一个弯曲。这个在阶段 3 中增添的弯曲，往往是很难观察的，它出现在上游，它的振幅也不象其它的振幅那样显著。但是，在仔细观察图 B—5 与 C—5 后，仍然可以看出这种差异。

如果，根据图 2A 中的这些图片，对 h 与 u 值适

足以激发自持振动的系统之液流剖面，和在 (h, u) 空间中的代表点完全处于自持区域^[1]内的系统之液流剖面进行比较，则可得到以下的一些论断：(1) 所有射流位形的一般形状是相同的；(2) 在所有情况下，边棱处的最大横向位移约等于液流的宽度，虽然在前一种情况下，液流有稍微加宽的表现，以及(3) 在所有情况下，在大多数时间内，液流有移向劈尖的一边或另一边的表现。在用图 2 所示的射流运动的电影底片来做成的动画片（有效放大率为 50:1）进行详尽的比较后，即可证实这些特点存在。

图 3 对上述的液流加宽现象有较充分的描述。在此图中，我们画出了对 (h, u) 空间中两点， $w(x)/w_0$ 对 x 的图象 [其中 $w(x)$ 为距孔口任一距离 x 处的液流厚度， $w_0=w(0)$ 而 $x_0=h$]。图中的实线对应于完全位于自持区域中的一点 ($h=0.6$ 厘米， $u=18$ 厘米/秒及 $w_0=0.10$ 厘米)。可以看出，在这种情况下，液流有比较微小的加宽现象。虚线所对应的系统在 (h, u) 空间中有代表点 ($h=1.0$ 厘米， $u=11$ 厘米/秒； $w=0.10$ 厘米)，其 h 或 u 值恰足以使系统进行自持振动。在这里，我们发现液流宽度增大很多；在 $x=x_0$ 处，液流宽度比在 $x=0$ 处大 1.6 倍。

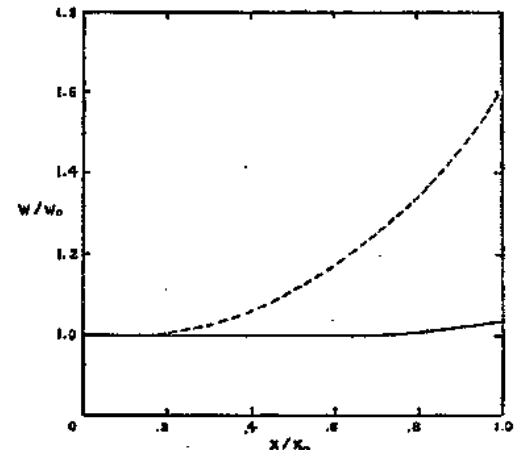


图 3 液流的相对厚度与离孔口的相对距离的关系。对于图中的实线， $x_0=0.6$ 厘米， $u=18$ 厘米/秒，而 $w_0=0.10$ 厘米。对于虚线 $x_0=1.0$ 厘米， $u=11$ 厘米/秒而 $w_0=0.10$ 厘米

結果与理論的比較

現在，我們可以考察上述两种关于射流自持振动的理论与本文及(I)所得的实验结果相符的程度。

渦漩理論^[6]

首先，我們來探討 Curle 的貢獻。他(I)利用层

流的射流的渦街之速度，并(2)假定在勢尖前邊棱處形成的所謂“內”渦漩及孔口處形成的“外”渦漩之間有相位關係，而將各階段的振動頻率用公式來表示。Curle 用不同的渦街速度值得出兩個頻率公式。第一個頻率公式是利用 Savic 的結果^[12] 得到的，其形式如下：

$$f = \frac{uw^{1.2}}{h^3} \{1.43, 3.46, 6.00, \dots\}, \quad (1)$$

式中， w 為液流的厚度， u 及 h 的定義與以前相同。頻率對 u 的依賴關係是與實驗結果相符的，但是從實驗結果來看對 h 的依賴關係是有疑問的[例如，參閱(I)，其中會證明 f 與 u 成正比，而與 h 成反比]。由表 I 可以看出，各種振動方式的頻率對階段 1 振動方式的頻率之比 J_n ，是與實驗值很相符合的。當 w 增大時，頻率亦稍有增加，但與方程(1)所推測的變化相比，則稍微緩慢。

在獲得其第二個頻率方程時，Curle 以實驗結果為根據，對 Brown^[13] 關於空氣的射流——邊棱系統中渦漩運動的数据進行了修正，修正後的形式為：

$$f = \frac{1}{2} \left(n + \frac{1}{2} \right) u \left[\frac{1}{h} - \frac{1}{30w(n + \frac{1}{4})} \right] \quad (2)$$

上式正確地給出了頻率對 h 的依賴關係，但由此得到的頻率比(J_n)却是不正確的(見表 I)。

表 1 由實驗所確定的公式(2)中之常數

J_1 定義為一個單位

	實驗		渦漩理論		動力學理論
	空氣	水	公式(1)	公式(2)	
A	0.466	0.63	0.25	0.71
J_1	1.0	1.0	1.0	1.0	1.0
J_2	2.3	2.4	2.4	1.8	2.3
J_3	3.8	4.2	4.2	2.6	3.8
a	40.0	6.0
b	0.07	0.24	0.27	0.15
					0.10

現在，我們可以根據射流剖面的照片，來評價 Curle 的基本前提，即有一個強渦漩正從勢尖頂端處退向下游，而其環流方向則與最近的(在射流外邊形成的)向上渦漩的方向相反，他認為，正是由於形成了這個內渦漩，在孔口處的液流才發生了微小偏折，而這個渦漩則在移向下游時逐漸成長，終於變成一個外渦漩。圖 1 和 2 中的一系列的照片，是用電影攝影機拍攝的，它們顯示了在進行穩態振動的射

流。在考察這些圖片後，在液流與勢尖之間沒有看到內渦漩。但並不能以此作為結論，因為用染色液流來顯示沿勢尖出現的渦流，不象沿染色射流與清潔流體之間的界面顯示渦流時那樣容易。因此讓我們來考察另外一系列照片，在這些照片中能得出一些與前稍異的看法。

如前所述，圖 1 有四組連續的照片，它們共同描述了水中射流——邊棱系統中振動的形成。在 A 列中， u 的值還小，射流未表現出振動的跡象。在 B 列中， u 稍大，有橫向擾動出現，但極為微小(如前所述，用箭頭指出這些擾動)。在 C 中沒有觀察到強烈的“內”渦漩，而在這一時刻實際上也沒有看到有“外”渦漩。在 D 与 E 中，有橫向振動存在，但其中沒有渦漩或僅有極微弱渦漩，這種現象說明了渦漩形成的本身並不是促使射流振動的基本機構。

反之，也許一直到振動已頗充分地建立時，仍不會產生渦漩。這顯然就是圖 1 的 F 列中所顯示的“先驅渦漩”形成的情況；只有在縱向擾動振幅變得足夠大時，才會有這種很小的線狀先驅渦漩形成，最後它才卷曲成渦漩的形式。

因此，我們就對 Curle 的渦漩可以引起射流振動的特殊假說產生了懷疑(他的主要論點是沒有問題的，即當振動已充分建立時，渦漩是重要的)。然而，可以看出(表 I)，他從簡單的，經過修正理論得到的公式，却合理地說明了不同階段的頻率特性之一般性質。如果我們考慮到，不管渦漩對射流振動究竟起着什麼作用，與穩態振動中渦漩形成有關的頻率總是和射流振動的頻率等同的話，我們就可以理解這一點。

近來 Gross, M. J. (格羅斯)^[14] 也曾提出與上述結論頗相似的論斷。

動力學理論^[6]

現在我們可以來探討第二個理論，這個理論是以假設的射流質點運動方程為基礎的。所研究的論題依次是：所推測的頻率特性、自持振動的條件和液流的剖面。同時，也和上一節一樣，要將理論推測的結果與實驗結果特別是本文與(I)中的實驗結果，進行比較。

在動力學理論中，對邊棱處一個流体质點的橫向位移 $y(t)$ ，建立了一個積分方程：

$$y(t) = \int_0^t (t-\tau) \alpha [x'(\tau), y(\tau)] d\tau \quad (3)$$

式中， α 為作用在從孔口流向邊棱的質點上的橫向

力的一种量度。具体地说， $\alpha(x', y)$ 就是这个质点的瞬时横向加速度；在指出简化的近似式时使它仅依赖于质点离边棱的距离 $x'(\tau)$ 和在同一时刻液流在边棱处的横向位移 $y(\tau)$ 。利用 $\alpha(x', y)$ 的试探函数，可以求得式(3)的解。即设

$$\alpha(x', y) = g(x') \phi(y) \quad (4)$$

对 g 及 ϕ ，假定了有如下的简单形式，可以得到重要的结论。

$$g(x') = 1 \quad (5a)$$

$$\phi(y) = \begin{cases} B & \text{当 } y < 0 \\ -B & \text{当 } y > 0 \end{cases} \quad (5b)$$

在求解时，假定有周期运动 $y(t)$ 存在，并要求这些解能满足积分方程。我们发现，这样的解有无限多组，每组解都自有其特征频率和射流位形。

频率特性

对射流速度为 w_0 而与 x' 无关的特殊情况，频率公式简化为

$$f_n = \frac{1}{2} [n(n+1)]^{1/2} w_0 / h, \quad (6)$$

上式可与经验结果相比较：

$$f_n = AJ_n(u-a)(1/h-b) \quad (7)$$

表 I 列出了对空气和水的 A 和 J_n 的实验值。从表 I 还可以看出，由方程(6)中得到的这些常数的相应数值，是与实验大致相符的。这个表里的数值是对液流厚度 w 为 0.10 厘米的情况而言的。以前在(I)中曾经提出， A 依赖于 w ，动力学理论中并不能预测到这种关系。

自持振动的条件

对于射流——边棱系统振动现象，有一个基本问题，这就是，必须了解在什么条件下，各种振动方式才会是自持的。在实验上已发现 [见 (I) 之图 2~5]，任一给定的振动方式，仅在 h, u, w 及 v 值的一定范围内存在。但是，我们发现，用上一节中的试探函数 [式(4) 及 (5)] 导出的结果，在射流——边棱系统的参数取任何值时，任何方式的自持振动都会发生。这种理论上缺点并非来自基本方程(3)，或者方程(4)所规定的一些限制，而是来自式(5a)与(5b)中假定的试探函数。幸而，只需要对函数使用一个稍微复杂一点的形式来求出积分方程，方程的周期解之存在便与参数有关。现在保留式(5a)的假定，而把 ϕ 设为下列形式：

$$\phi(y) = \begin{cases} -B & \text{当 } y > y_0 \\ 0 & \text{当 } -y_0 < y < y_0 \\ B & \text{当 } y < -y_0 \end{cases} \quad (8)$$

将 ϕ 改变成这种形式，相当于对物理条件提出了下述假定，即当液流近似地被边棱分截为二时，力是微小的，而仅当位移大时力才是大的。不难证明^[1]，按照这个假定与式(6)，以及液流在 y_0 与 $-y_0$ 间的时间间隔小于周期 T 之半的这个事实，就可以得出如下的不等式：

$$B \delta_0^2 / y_0 > (2n), \quad (9)$$

式中， $\delta_0 = \int_0^h u^{-1} dx$ 。上式给出了为了得到自持振动所必需满足的条件。 B, δ_0 和 y_0 值都是未知的。但是，假定 $\delta_0 \sim h/w_0, y_0 \sim \frac{1}{2}w_0$ 及 $B \sim u_0^2/2w_0$ ，而 w_0 为孔口处的液流宽度，则有可能进行粗略的数量级的计算。第一个假定表示 u 与 x 无关。第二个假定 $y \sim \frac{1}{2}w_0$ 主要是表示如边棱处的液流位移等于液流宽度的二分之一，则力将达到其极大值。

对 B 作合理的推测或估计，则更困难。设如压强差等于间距为 w_0 的两边之间的伯努利压强，则由所设的值（亦即 $u_0^2/2w_0$ ）可以得到所产生的横向加速度。（为了了解这个数量级的压强如何产生，假設射流的“自由端”暂时是在边棱的上面，经受着很快的减速作用而造成了一个与伯努利压强同一数量级的超压。此外，还假設恰好在射流之上面的区域内，各处均承受着这个超压，而在射流之下的压强则为环境压强。）

利用这些粗略的数值，第 n 振动方式的自持条件就是：

$$h/w_0 > (2n)^{1/2} \quad (10)$$

这个不等式说明自持的条件与液流速度 u 无关，并给出了发生第 n 方式的振动时， h 的极限值：

$$h_{\min} = (2n)^{1/2} w_0. \quad (11)$$

将此结果与 (I) 中的图 2~4 相比较，说明了与公式 (11) 相反，发生给定阶段的 h 极小值依赖于 u ，尤其是在 u 值较低时。但是，在每张图中确实表现了当 u 增加时， h_{\min} 趋向于一个与 u 无关的值。表 2 第四列的 h_{\min} 正是这些在高速时所趋近的 h_{\min} 值；这些结果是自 (I) 的图 2~4 得到的。表 2 的第三列为由公式 (11) 所得的值。其中尤以在 $w_0=0.05$ 厘米情况下给出的 h_{\min} 的实验值特别正确。 h_{\min} 的计算值与实验值的数量级是相符的，但是 h_{\min} 的计算值有偏低的倾向。

表 2 h_{\min} 的計算值和實驗值之比較

液流厚度 (w)	阶段	h_{\min} 計算的	实驗的
0.05	1	0.07	0.20
0.10	1	0.14	0.33
0.20	1	0.28	0.40
0.05	2	0.10	0.30
0.10	2	0.20	0.45
0.20	2	0.40	0.50
0.05	3	0.12	0.70

以上由公式(9)~(11)作出的假設是經過高度簡化的，可是由這些公式得到的結果却與觀測事實這樣接近，這是很值得惊奇的。由此可以得出如下的結論，即以上對 δ_0 、 y_0 及 B 所假定的值，在 u 值足夠大的條件下，必定具有正確的數量級。不過，這些假定的值只不過是一些合理的猜測。此外並無所述。

可是為什麼式(11)在高速時對 h_{\min} 給出了合理的值，而在低速範圍內則不能呢？在低速範圍內可以觀測到[例如，(I)中的圖2~4]只要 u 超過某個閾值 u_{\min} 時， h_{\min} 將隨 u 的減小而增大。在 $u < u_{\min}$ 時，足以使問題中有關的階段開始出現的 h 值似乎并不存在，這就是說 h_{\min} 為無限大。考察(I)之圖5，也可以清楚地看出，在較低的流速範圍內， h_{\min} 隨粘度的增加而增大。

再參考式(9)，并考慮到在那裡出現的常數對 u 可能有依存關係，可以得到 h_{\min} 隨 u 與 v 而變化的定性解釋。在這一方面，液流的性質顯然是重要的。對此前已指出(圖3)，液流的寬度 w 不是真正的常數，它是隨着至液流下游的距離 x 而增大的。在距離 $x=h$ 處出現的這個加寬的大小取決于流速與液體的粘度，當然，還取決于距離 h 。

我們可以將這種加寬的現象看作扁平射流上側及下側的附面層擴大的結果。這些附面層所代表的區域，就是最初以射流速率 u_0 行進的質點的速率將顯著減緩的區域。在下游離孔口的任一距離 x 處，(在考慮到Schlichting^[15]及其它人對類似附面層的計算後而選定的)附面層厚度的一個指數為

$$z(x) = (vx/u)^{1/2}, \quad (12)$$

式中， v 為運動粘度，而 u 為射流速度。在 $x=h$ 處，式(12)應為：

$$z(h) = (vh/u)^{1/2} \quad (13)$$

當流速繼續減緩時，其寬度 w 必將以這樣的方式增大，使 $u(x)$ 沿射流橫截面的積分與 x 无关。這

就說明了把由式(13)給出的 $z(h)$ 看作液流在 $x=h$ 處增大的寬度的量度是合理的。由它本身提出的一個加寬的元量綱指數是

$$\epsilon = z(h)/w_0 \quad (14)$$

現在，我們回到公式(9)，再考慮其中出現的一些常數，這主要是因為液流的減速和加寬對這些常數可能有所影響。對其中出現的乘積 $B\delta_0^2$ 加以考慮是有好處的。我們可以回憶到，這個 δ_0 是質點從孔口流向邊緣的過渡時間，而 B 的單位則與加速度相同。因此 $(\frac{1}{2}B\delta_0^2)$ 為在加速度 B 的影響下，質點從孔口流向邊緣過程中所遭受的橫向位移。液流的減慢將引起 δ_0 的增加，這個增大的 δ_0 超過了假定液流以恒速 u_0 行進時所得的值。另一方面，也可能是更重要的，因粘性而引起的顯著滯後很可能使得“反饋”加速度 B 比在導出公式(11)時所假定的伯努利值 $(u_0^2/2w_0)$ 小得多。因此，這種關於液流減速和加寬就會減小乘積 $(B\delta_0^2)$ 的假定似乎是合理的。就已加寬的液流來說，在式(9)中 y_0 的相應值將增大而超過推導式(11)時所設定的值 $(\frac{1}{2}w_0)$ ，這也似乎是合理的。(例如，也可以這樣假設，即以 w_h 來代替 w_0 ， w_h 為在 $x=h$ 處已加寬的液流之實際寬度)。簡言之，液流的減緩和加寬的效應在於減低了式(9)左边的數量。

不難證明，這個假定的結果即就是如下的條件：

$$h_{\min} = (2n)^{1/2} w_0 q(\epsilon), \quad (15)$$

式中， ϵ 為液流加寬的一個指數[式(4)]，而 $q(\epsilon)$ 為 ϵ 的遞增函數，在 $\epsilon=0$ 時簡化為1。所以，可以將式(11)設想為當 $\epsilon \rightarrow 0$ 時 h_{\min} 的一個極限形式。由式(13)、(14)及(15)顯然可見， h_{\min} 隨 u 的減小和 v 的增大而增大，這正是實驗所指出的結果。考察(I)的圖5，看來，式(11)的適用性的一個粗糙的判據就是 ϵ 應小於 $1/4$ ；這個圖上的數據是對各種粘度的液體及 $w_0=0.05$ 厘米而言的。對其它的 w_0 值[見(I)的圖2~4]，這個判據是較難適用的。

液流剖面

在前面幾節中，我們已討論過在 $x=h$ (即在劈尖頂上)處射流的運動。動力學理論能夠處理在孔口與邊緣間任一點之位移(x, t)。這些知識使我們能夠決定在一個周期的不同部分的液流剖面。Bouyoucos(玻尤可斯)和 Nyborg(尼堡)^[16]會對階段1的照相(如圖1和2)與由計算得到的剖面進行了比較，發現射流的一般形式與行為是相符的。